

Helmholtz 方程数值解：理论推导与算法实现

周晨煜 刘棋

2025 年 12 月 24 日

目录

1	引言	2
2	离散化	2
3	基础求解器实现	2
3.1	幂法 (Power Method)	2
3.2	反迭代法 (Inverse Iteration)	3
4	高级求解器实现	3
4.1	Shift-and-Invert Lanczos 算法	3
4.2	瑞利商迭代 (RQI)	5
5	理论复杂度分析	6
5.1	时间复杂度分析	6
5.1.1	幂法	6
5.1.2	反迭代法	6
5.1.3	Lanczos 算法	6
5.1.4	瑞利商迭代	7
5.2	空间复杂度分析	7
6	数值实验与结果分析	8
6.1	实验 1：正确性验证与物理模态	8
6.2	实验 2：时间复杂度分析	9
6.3	实验 3：RQI 收敛速度测试	9
6.4	实验 4：算法综合对比	9
7	结论	10

1 引言

Helmholtz 方程是数学物理中描述波动现象的基本方程，在声学、电磁学、量子力学等领域有广泛应用。本报告研究二维 Helmholtz 特征值问题的数值解法，包括数学推导、有限差分离散化、基础求解器实现（幂法和反迭代法）、高级方法（Lanczos 算法和 Rayleigh 商迭代）以及数值实验分析。

2 离散化

考虑二维 Helmholtz 特征值问题：

$$-\Delta u = \lambda u \quad \text{在 } \Omega = [0, 1] \times [0, 1] \quad (1)$$

带有 Dirichlet 边界条件： $u|_{\partial\Omega} = 0$ 。

我们采用均匀网格离散化的方法：取网格间距 $\Delta x = \Delta y = h = \frac{1}{N+1}$ 。内部点数共 N^2 个。利用五点差分格式，对拉普拉斯算子进行近似：

$$-\Delta u_{i,j} \approx \frac{4u_{i,j} - u_{i-1,j} - u_{i+1,j} - u_{i,j-1} - u_{i,j+1}}{h^2} \quad (2)$$

令 U 为按行优先排列的未知向量，离散化后的特征值问题转化为代数方程：

$$\mathbf{A}\mathbf{u} = \lambda\mathbf{u} \quad (3)$$

其中 $\mathbf{A} \in \mathbb{R}^{N^2 \times N^2}$ 是稀疏对称矩阵，具有分块三对角结构：

$$\mathbf{A} = \frac{1}{h^2}(I_N \otimes D_2 + D_2 \otimes I_N) \quad (4)$$

其中 $D_2 = \text{tridiag}(-1, 2, -1)$ 是 $N \times N$ 的一维拉普拉斯矩阵。

3 基础求解器实现

3.1 幂法 (Power Method)

幂法用于求解模最大的特征值。收敛速度取决于最大特征值与次大特征值的比值。

```

1 function [lambda, v, iter_log] = power_method_algorithm(A, tol, max_iter)
2     n = size(A, 1);
3     v = randn(n, 1); v = v / norm(v);
4     iter_log = [];
5     for k = 1:max_iter
6         w = A * v;
7         v_new = w / norm(w);
8         lambda = v_new' * A * v_new;

```

```

9      iter_log = [iter_log; lambda];
10     if norm(v_new - v) < tol, break; end
11     v = v_new;
12   end
13 end

```

Listing 1: 幂法

3.2 反迭代法 (Inverse Iteration)

反迭代法用于求解最接近给定值 μ 的特征值。利用 LU 分解预处理，其收敛速度通常为线性，但在特征值附近收敛较快。

```

1 function [lambda, v, iter_log] = inverse_iteration(A, mu, tol, max_iter)
2   n = size(A, 1);
3   v = randn(n, 1); v = v / norm(v);
4   [L, U, P, Q] = lu(A - mu * speye(n));
5   iter_log = [];
6   for k = 1:max_iter
7     w = Q * (U \ (L \ (P * v)));
8     v_new = w / norm(w);
9     lambda = v_new' * A * v_new;
10    iter_log = [iter_log; lambda];
11    if norm(v_new - v) < tol, break; end
12    v = v_new;
13  end
14 end

```

Listing 2: 反迭代法

4 高级求解器实现

经典的算法倾向于收敛到模最大的特征值。然而，在物理问题中，我们通常关注最小特征值。此外，为了获得极高精度的单个特征值，我们需要更快的局部收敛算法。

4.1 Shift-and-Invert Lanczos 算法

Lanczos 算法是一种迭代方法，用于求解大规模稀疏矩阵的特征值问题和线性方程组。该算法由 Cornelius Lanczos 在 1950 年提出，是 Krylov 子空间方法的重要代表。该算法通过构造一个三对角矩阵，将原矩阵的特征值问题转化为更容易求解的形式。

设 \mathbf{A} 是 n 阶实对称矩阵。Lanczos 方法通过从一个随机选取的初始向量 \mathbf{b}_0 开始，构建一个子空间 $S_j = \text{span}(\mathbf{b}_0, \mathbf{b}_1, \dots, \mathbf{b}_j)$ 。在每一步迭代中，新向量 \mathbf{b}_{j+1} 的生成过程

可以看作是将 \mathbf{Ab}_j 投影到已知子空间 S_j 上, 然后去除该投影分量, 从而得到与之前所有向量正交的新向量。

不同于一般的正交化过程需要与所有之前的向量进行运算, Lanczos 的天才发现在于: 对于对称矩阵, 每一步迭代只需要通过三项递归式即可保证正交性。

设第 j 步得到的向量为 \mathbf{b}_j , 我们构建下一个向量 \mathbf{b}_{j+1} 为 \mathbf{Ab}_j 与前两项的线性组合:

$$\mathbf{b}_{j+1} = \mathbf{Ab}_j - \alpha_j \mathbf{b}_j - \beta_{j-1} \mathbf{b}_{j-1}$$

其中系数 α_j 和 β_{j-1} 的选取原则是使新向量 \mathbf{b}_{j+1} 的模长最小。由此推导出的系数计算公式为:

$$\alpha_j = \frac{(\mathbf{Ab}_j) \mathbf{b}_j}{\mathbf{b}_j^2}, \quad \beta_{j-1} = \frac{(\mathbf{Ab}_j) \mathbf{b}_{j-1}}{\mathbf{b}_{j-1}^2}$$

经过 n 步迭代 (或在 $m < n$ 步提前终止), 我们将得到一组双正交向量 $B = [\mathbf{b}_0, \mathbf{b}_1, \dots, \mathbf{b}_{n-1}]$, 使得原矩阵 A 被转化为三对角矩阵 T :

$$T = (B^*)^T AB = \begin{pmatrix} \alpha_0 & \beta_0 & & & \\ \beta_0 & \alpha_1 & \beta_1 & & \\ & \beta_1 & \ddots & \ddots & \\ & & \ddots & \alpha_{n-1} & \end{pmatrix}$$

此时, T 的特征值即为原矩阵 \mathbf{A} 的特征值近似解。

根据上述推导, 我们给出 Lanczos 算法的具体步骤如下:

- 初始化: 随机选取初始向量 \mathbf{b}_0 。
- $\mathbf{b}_1 = \mathbf{Ab}_0 - \alpha_0 \mathbf{b}_0$, 其中 $\alpha_0 = \frac{(\mathbf{Ab}_0) \mathbf{b}_0}{\mathbf{b}_0^2}$
- 对于 $j = 1, 2, \dots$, 执行以下步骤:
 - $\mathbf{b}_{j+1} = \mathbf{Ab}_j - \alpha_j \mathbf{b}_j - \beta_{j-1} \mathbf{b}_{j-1}$
 - $\alpha_j = \frac{(\mathbf{Ab}_j) \mathbf{b}_j}{\mathbf{b}_j^2}$, $\beta_{j-1} = \frac{\mathbf{b}_j^2}{\mathbf{b}_{j-1}^2}$
- 终止条件: 当 $\beta_j = 0$ 时, 迭代结束, 此时达到了最小多项式的秩。

```

1 function [evals, T, B] = lanczos_solver(A, v0, m)
2 n = size(A, 1);
3 B = zeros(n, m); alpha = zeros(m, 1); beta = zeros(m-1, 1);
4 b_curr = v0 / norm(v0); B(:, 1) = b_curr; b_prev = zeros(n, 1);
5 beta_prev = 0;
6 for j = 1:m
7     u = A * b_curr;

```

```

8     alpha(j) = b_curr' * u;
9     r = u - alpha(j) * b_curr - beta_prev * b_prev;
10    if j < m
11        beta_curr = norm(r);
12        if beta_curr < 1e-10, break; end
13        beta(j) = beta_curr;
14        b_next = r / beta_curr;
15        B(:, j+1) = b_next; b_prev = b_curr; b_curr = b_next;
16        beta_prev = beta_curr;
17    end
18 end
19 T = diag(alpha) + diag(beta, 1) + diag(beta, -1);
20 evals = sort(eig(T));
21 end

```

Listing 3: Lanczos

4.2 瑞利商迭代 (RQI)

瑞利商迭代 (Rayleigh Quotient Iteration) 是一种寻找单个特征值的高效算法。其核心思想是在反幂法的基础上，利用当前的瑞利商作为位移。具体步骤如下：

- 计算瑞利商： $\mu_k = \frac{\mathbf{v}_k^T \mathbf{A} \mathbf{v}_k}{\mathbf{v}_k^T \mathbf{v}_k}$
- 求解线性方程组： $(\mathbf{A} - \mu_k \mathbf{I}) \mathbf{w}_{k+1} = \mathbf{v}_k$
- 归一化： $\mathbf{v}_{k+1} = \mathbf{w}_{k+1} / \|\mathbf{w}_{k+1}\|$

对于对称矩阵，RQI 具有立方收敛速度，即误差以 $\epsilon_{k+1} \approx C\epsilon_k^3$ 的速度下降。

```

1 function [lambda, v, iter_log] = rqi_solver(A, v0, tol, max_iter)
2     n = size(A, 1);
3     I = speye(n);
4     v = v0 / norm(v0);
5     lambda = v' * A * v;
6     iter_log = [];
7     for k = 1:max_iter
8         iter_log = [iter_log; lambda];
9         residual = norm(A * v - lambda * v);
10        if residual < tol, break; end
11        try
12            w = (A - lambda * I) \ v;
13        catch
14            w = (A - (lambda + 1e-8) * I) \ v;
15        end

```

```

16     v = w / norm(w);
17     lambda = v' * A * v;
18   end
19 end

```

Listing 4: RQI

5 理论复杂度分析

5.1 时间复杂度分析

5.1.1 幂法

幂法的计算核心在于单步迭代的累积开销与总迭代次数的乘积。在每一次迭代中，主要运算包括稀疏矩阵-向量乘法、向量归一化以及 Rayleigh 商的计算。针对二维 Helmholtz 方程的五点差分格式，离散矩阵 $A \in \mathbb{R}^{n \times n}$ (其中 $n = N^2$) 每行仅有 5 个非零元素。因此，SpMV 操作仅需 $5N^2$ 次浮点运算。加上向量归一化 ($2N^2$)、Rayleigh 商计算 (利用中间结果仅需 N^2) 以及收敛性检查 (N^2)，单步迭代的总计算量约为 $9N^2$ ，即具有 $O(N^2)$ 的线性复杂度。

然而，幂法的总耗时受限于其收敛速度。收敛率由主特征值与次大特征值的比值 $\rho = |\lambda_2/\lambda_1|$ 决定。对于 Helmholtz 问题， ρ 通常接近于 1 (例如 $0.9 \sim 0.98$)，导致收敛缓慢。为达到预设精度 ε ，所需迭代次数 k 满足 $k \approx O(\log(1/\varepsilon))$ 。综上所述，幂法的总时间复杂度为 $T_{\text{power}}(N) = O(N^2 \log(1/\varepsilon))$ 。

5.1.2 反迭代法

反迭代法通过引入位移 μ 显著加速了收敛，但其代价是将简单的矩阵乘法转变为求解线性方程组 $(A - \mu I)w = v$ 。该算法的整体复杂度取决于线性方程组求解器的选择：

若采用**直接法** (如针对带状矩阵的 LU 分解)，由于矩阵带宽为 N ，初始的分解过程需要 $O(N^4)$ 的运算量。分解完成后，每次迭代中的前向和回代求解仅需 $O(N^3)$ 。

若采用**迭代法** (如预条件共轭梯度法 PCG)，位移后的矩阵 $A - \mu I$ 条件数通常较差 ($\kappa \approx O(N^2)$)，导致 PCG 内部需要 $O(N)$ 次迭代才能收敛。因此，反迭代法外部的每一步实际上消耗了 $O(N \cdot N^2) = O(N^3)$ 的计算量。

尽管单步成本较高，但反迭代法在 μ 接近特征值时表现出二次收敛特性，通常仅需极少的步数即可收敛。因此，其总复杂度通常由求解线性方程组的开销主导。

5.1.3 Lanczos 算法

在单步迭代中，Lanczos 同样以稀疏矩阵-向量乘法 (SpMV) 为核心，基础开销与幂法相当 ($O(N^2)$)。Lanczos 算法通常仅需较小的子空间维数 ($m \ll N$) 即可精确逼近

矩阵谱边缘的特征值（基态或高频态）。最后对 $m \times m$ 三对角矩阵求解特征值的开销仅为 $O(m^3)$ ，相对于大规模矩阵运算可忽略不计。因此，Lanczos 算法的总时间复杂度约为 $O(mN^2)$ 。它在保持线性复杂度的同时，能比幂法提取更多的谱信息。

5.1.4 瑞利商迭代

瑞利商迭代是反迭代法的变体，其位移量 λ_k 在每一步都会动态更新。单步开销是 RQI 的主要瓶颈。由于位移 λ_k 随迭代变化，每一步都必须重新进行矩阵分解。若使用直接法，单步代价高达 $O(N^4)$ （分解）或 $O(N^3)$ （求解）。

然而，RQI 的优势在于其惊人的立方收敛速度。对于实对称矩阵，通常仅需 3 ~ 5 步即可达到机器精度。极少的迭代次数弥补了昂贵的单步开销。因此，RQI 非常适合在 Lanczos 算法提供良好的初始猜测后，用于特征值的高精度计算。

5.2 空间复杂度分析

空间复杂度的分析主要考量矩阵存储与求解过程中的辅助空间。

对于矩阵 A ，利用压缩稀疏行（CSR）格式存储仅需 $O(N^2)$ 空间，这远优于稠密格式的 $O(N^4)$ ，是处理大规模网格的关键。基础向量存储同样维持在 $O(N^2)$ 级别。

1. **幂法与 RQI：** 仅需存储当前迭代向量和辅助向量，空间复杂度最低，为 $O(N^2)$ 。但需注意，若 RQI 使用直接求解器，动态 LU 分解产生的填充元可能导致瞬时空间峰值达到 $O(N^3)$ 。
2. **反迭代法：** 若使用直接法，LU 分解因子的存储需求为 $O(N^3)$ ，是内存瓶颈所在。
3. **Lanczos 算法：** 为了在最后一步还原 Ritz 向量（近似特征向量），必须存储整个 Krylov 子空间的基底 $B \in \mathbb{R}^{N^2 \times m}$ 。随着迭代步数 m 的增加，其空间需求线性增长。这是 Lanczos 算法相对于幂法的主要内存代价。

表 1: 算法对比 (N 为网格边长，矩阵维数 $n = N^2$)

算法	单步时间复杂度	收敛速度	总空间复杂度	适用场景
幂法 (稀疏)	$O(N^2)$	线性	$O(N^2)$	获取模最大特征值
幂法 (稠密)	$O(N^4)$	线性	$O(N^4)$	不实用
反迭代 (直接法)	$O(N^3)$	线性	$O(N^3)$	中小规模，求特定特征值
反迭代 (PCG)	$O(N^3)$	线性	$O(N^2)$	超大规模，内存受限时
Lanczos	$O(N^2)$	超线性	$O(mN^2)$	快速获取谱边缘概况
RQI	$O(N^3)$	立方	$O(N^3)$	单特征值高精度计算

6 数值实验与结果分析

6.1 实验 1：正确性验证与物理模态

我们首先在 $N = 40$ 的网格上验证算法的正确性。图 1 展示了通过 Lanczos 算法计算得到的基态和最高频模态。基态呈现出光滑的单峰结构。通过与 MATLAB 内置 `eigs` 函数对比（表 2），绝对误差极小，验证了算法实现的正确性。

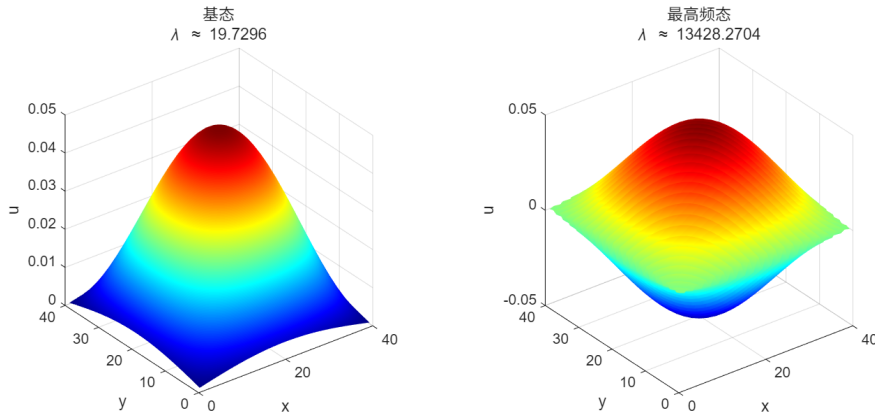


图 1: Lanczos 算法计算得到的基态（左）与高频态（右）波形图

表 2: Lanczos 计算值与标准值的对比（采用最近邻匹配）

特征值类型	Lanczos (计算值)	真值 (eigs)	绝对误差
低频/基态部分			
基态 +0	19.729553	19.729553	1.67e-12
基态 +1	49.265992	49.265992	1.27e-12
基态 +2	49.265992	49.265992	1.49e-12
基态 +3	78.802431	78.802431	1.05e-10
基态 +4	98.300761	98.300761	2.66e-08
基态 +5	98.300761	98.300761	2.66e-08
高频/最大部分			
最大-5	13349.699239	13349.699239	4.93e-09
最大-4	13349.699239	13349.699239	5.01e-09
最大-3	13369.197569	13369.197569	2.00e-11
最大-2	13398.734008	13398.734008	1.82e-11
最大-1	13398.734008	13398.734008	7.28e-12
最大-0	13428.270447	13428.270447	6.18e-11

6.2 实验 2: 时间复杂度分析

我们测试了从 $N = 20$ 到 $N = 200$ 不同网格规模下 Lanczos 算法的运行时间。结果如图 2 所示。运行时间与 $O(N^2)$ 相近，表明算法的线性复杂度非常适合大规模问题。

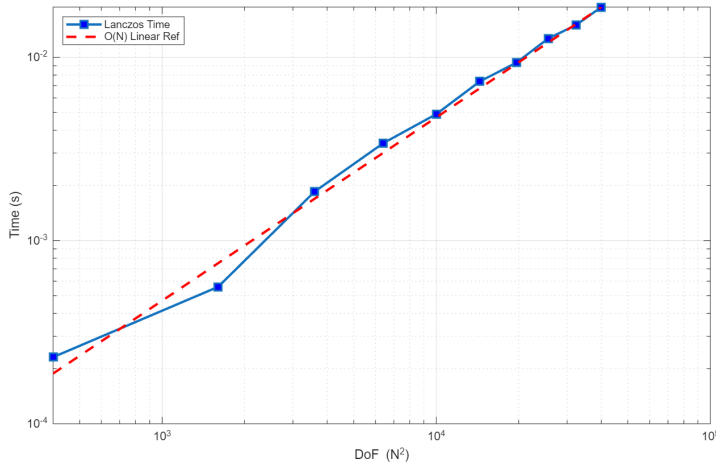


图 2: 算法运行时间与矩阵自由度的关系

6.3 实验 3: RQI 收敛速度测试

图 3 展示了瑞利商迭代的立方收敛特征。

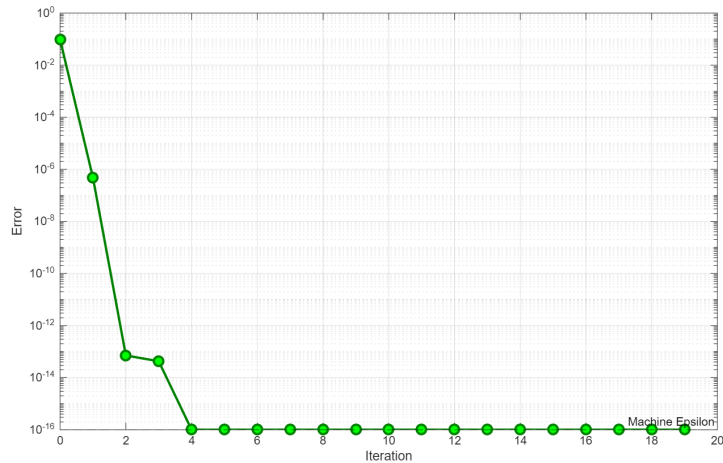


图 3: 瑞利商迭代的立方收敛性

6.4 实验 4: 算法综合对比

- **求最大特征值:** Lanczos 算法的收敛速度显著快于幂法，表现出超线性收敛特征。
- **求特定特征值:** RQI 的收敛速度远超反迭代法，后者仅表现为线性收敛。

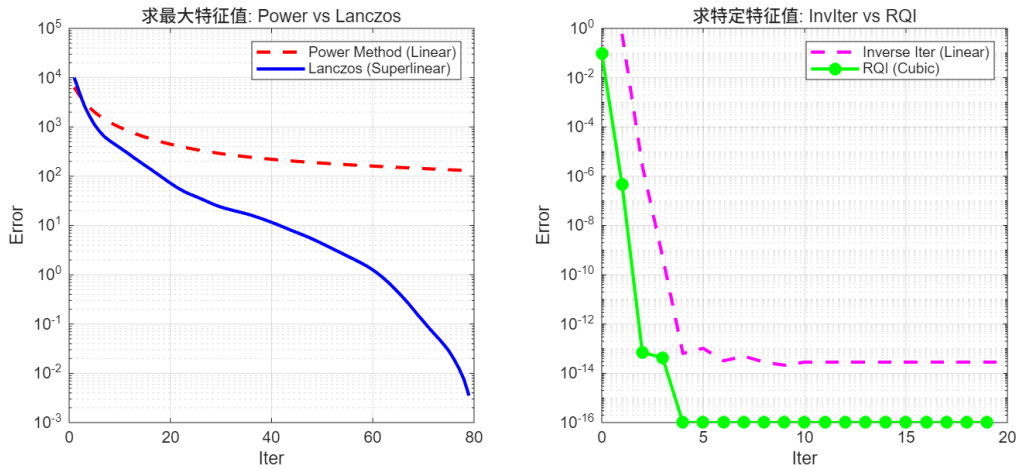


图 4: 对比: (左) 幂法 vs Lanczos; (右) 反迭代 vs RQI

7 结论

本项目成功实现并比较了求解二维 Helmholtz 方程特征值问题的多种数值算法。实验结果表明: Lanczos 与 RQI 算法在收敛阶数和计算效率上均优于幂法与反迭代法。实际应用中, 建议使用 Lanczos 快速定位, 再结合 RQI 进行精确计算。